

مطالعه تجربی جذب دیاکسید کربن با زئولیت $13x$ در یک راکتور بستر ثابت

رضا غلامی^۱، احمد قائمی^{۱,*}، محمد تقی صادقی^۱

۱. گروه طراحی فرآیند، دانشکده مهندسی شیمی، دانشگاه علم و صنعت ایران، تهران، ایران

مشخصات مقاله	چکیده
تاریخچه مقاله:	در این تحقیق، فرآیند جذب گاز دیاکسید کربن با استفاده از زئولیت $13x$ در یک راکتور بستر ثابت مورد مطالعه قرار گرفت. آزمایش‌های جذب در یک بستر ثابت با ارتفاع ۱ متر و قطر ۱۰ سانتیمتر انجام گردید. آزمایشات جذب جهت بررسی پارامترهای عملیاتی شامل دما، فشار، دبی گاز و مقدار جاذب انجام گرفت. نتایج آنالیز ذرات جاذب نشان داد که متوسط قطر حفرات جاذب $1/92$ نانومتر و سطح ویژه 697 مترمربع بر گرم می‌باشد. نتایج آزمایشات تجربی نشان داد که با افزایش فشار و ارتفاع بستر و کاهش دما، سرعت جذب گاز دیاکسید کربن افزایش می‌یابد. ارزیابی داده‌های ایزووترم جذب نشان داد که جذب دیاکسید کربن فیزیکی بوده و جاذب دارای ظرفیت جذب بالائی می‌باشد. همچنین داده‌های ایزووترم با مدل‌های مختلف مورد ارزیابی قرار گرفت و نتایج نشان داد که ایزووترم فرنندیچ با مقدار ضریب همبستگی $0/999$ بهترین تطابق با داده‌های تجربی دارد.
دربافت: ۷ مرداد ۹۴	
دریافت پس از اصلاح: ۲۶ بهمن ۹۴	
پذیرش نهایی: ۱۱ اسفند ۹۴	
کلمات کلیدی:	جذب سطحی ایزووترم بستر ثابت دیاکسید کربن زئولیت $13x$

حقوق ناشر محفوظ است.

* عهده‌دار مکاتبات
aghaemi@juat.ac.ir

۱- مقدمه

زو هونگ و همکاران^۳ در سال ۲۰۰۲ برای جذب دی اکسید کربن در دمای بالا از جاذب‌هایی مانند اکسیدهای فلزی، زئولیت‌ها، آلومین بازی و جاذب‌های مبتنی بر کربن اصلاح شده استفاده کردند [۹]. جذب سطحی در فشارهای صفر تا ۵ اتمسفر و دمای محیط با جاذب $13\times$ توسط گاواناتی^۴ جهت جذب دی اکسید کربن از مخلوط گازی متان/ نیتروژن انجام شد [۱۰]. نتایج نشان داد که ظرفیت جذب در این مخلوط گازی برای دی اکسید کربن نسبت به دو گاز دیگر بالاتر است. با توجه به تأثیر فشار در جذب سطحی و میزان جذب ماده جذب‌شونده، سیریواردان^۵ آزمایش‌هایی را در سال ۲۰۰۸ جهت جذب دی اکسید کربن به روش^۶ PSA در فشار ۲۰ اتمسفر انجام داد. وی نتیجه گرفت که جذب با افزایش فشار رخ می‌دهد و در فشارهای پائین جذب صورت نمی‌گیرد [۱۱]. آشارتان^۷ در سال ۲۰۰۹ با استفاده از زئولیت $13\times$ گاز دی اکسید کربن را از مخلوط گازی آرگون/ نیتروژن در دمای ۵-۲۵ درجه سانتی‌گراد حذف کرد. نتایج نشان داد که با افزایش دما میزان جذب کاهش یافته و گزینش پذیری جذب دی اکسید کربن نسبت به آرگون و نیتروژن بالاتر است [۱۲]. سیاری و همکاران سال ۲۰۱۱ بر روی جاذب‌های سنتری شیمیایی برای جمله زئولیت‌ها، کربن فعال و جاذب‌های سنتری شیمیایی برای جذب سطحی دی اکسید کربن آزمایشاتی انجام دادند. نتایج نشان داد که جاذب‌های شیمیایی دارای ظرفیت جذب بیشتری می‌باشند [۱۳]. همچنین نتایج نشان می‌دهد که $13\times$ نسبت به ۵A ظرفیت جذب بیشتری دارد. همچنین این جاذب دارای ۵-۱۰ برابر جذب بیشتر نسبت به جاذب‌های کربنی می‌باشد. سونقول زاده و همکاران در سال ۲۰۱۲ نشان دادند که گزینش پذیری برای جذب دی اکسید کربن با جاذب $13\times$ نسبت به کربن فعال بسیار بالاتر است [۱۴]. دانتوس و همکاران^۸ در سال ۲۰۱۱ جداسازی دی اکسید کربن را از مخلوط گازی دی اکسید کربن و نیتروژن بر روی جاذب $13\times$ در دماهای مختلف $27-150$ درجه سانتی‌گراد انجام دادند [۱۵]. نتایج تحقیقات بر روی جاذب‌های مختلف نشان می‌دهد که زئولیت $13\times$ دارای ظرفیت جذب بالایی است و همچنین می‌تواند در شرایط مختلف عملیاتی استفاده شود. این تحقیقات برای شناسایی مکانیسم جذب صورت گرفته است.

شرایط زیست‌محیطی کره زمین با انتشار انبوه گاز دی اکسید کربن و دیگر گازهای گلخانه‌ای، در حال تغییر می‌باشد. افزایش گازهای گلخانه‌ای باعث ایجاد مشکلات زیست‌محیطی شامل افزایش دما، آسیب دیدن لایه اوزون و تغییر سطح آب دریاها شده است. برای کاهش اثرات زیست‌محیطی گازهای گلخانه‌ای باید از وارد شدن این گازها به اتمسفر جلوگیری کرد. یکی از مهم‌ترین گازهای گلخانه‌ای گاز دی اکسید کربن می‌باشد. فرآیندهای مختلفی جهت حذف دی اکسید کربن شامل جذب با آمین‌های غشاء، پیش احتراق و پس احتراق، جذب با جاذب‌های سطحی ارائه شده است [۱-۴]. در بین فرآیندهای ارائه شده، فرآیند حذف با جاذب‌های سطحی به علت مصرف انرژی کم، ظرفیت و گزینش پذیری بالا آن مورد توجه قرار گرفته است. همچنین این فرآیند برای حذف گاز دی اکسید کربن از گاز دودکش با دمای بالا نسبت به سایر روش‌ها از نظر عملیاتی مناسب و امکان‌پذیر می‌باشد [۴].

حذف گاز دی اکسید کربن خروجی صنایع شیمیائی و نیروگاه‌ها چالشی جدی در حوزه فناوری است. در حال حاضر صنایع برای حذف دی اکسید کربن از آلکانول آمین‌ها استفاده می‌کنند که علی‌رغم بازدهی بالا، مصرف انرژی بالای نیز دارد. به طوری که در مدت احیاء به اندازه ۱۰ الی ۳۰ درصد به مصرف انرژی افزوده می‌شود. از طرفی آلکانول آمین‌ها خورنده و در دماهای بالا ناپایدار هستند. بنابراین جاذب‌ها با گزینش پذیری بالا برای جذب دی اکسید کربن مناسب می‌باشد. زئولیت‌ها با ساختارهای مختلف و دارای گزینش پذیری بالا جایگاه ویژه‌ای در جذب دی اکسید کربن دارد [۵-۶].

تحقیقات انجام شده در زمینه جذب گاز توسط زئولیت‌ها بیانگر اهمیت کاربرد زئولیت‌ها در جذب گازها است. مارینگر و همکاران^۹ در سال ۱۹۹۳ با استفاده از زئولیت ۵A دی اکسید کربن را از مخلوط گازی $\text{CO}_2/\text{N}_2\text{O}$ را در فشار ۳ اتمسفر، دبی $1/2$ مترمکعب بر ساعت و در دمای محیط جذب کردند [۷]. ظرفیت جذب N_2O نسبت به CO_2 بسیار پائین‌تر بوده و ناخالصی N_2O باعث کاهش نقطه شکست منحنی جذب دی اکسید کربن می‌شود و جاذب در زمان کمتری به اشباع دی اکسید کربن می‌رسد [۷]. دلاوری و همکاران مروری بر نحوه جذب جاذب‌ها می‌رسد [۷]. دلاوری و همکاران مروری بر نحوه جذب جاذب‌ها جهت جذب دی اکسید کربن از گاز دودکش نیروگاه‌ها ارائه کردند. نتایج تحقیق نشان داد که زئولیت‌ها به خصوص آلومین بازی میزان جذب قابل توجهی دارد [۸].

² Zou Yong et al.

³ Cavenati

⁴ Siriwardane

⁵ Pressure Swing Adsorption

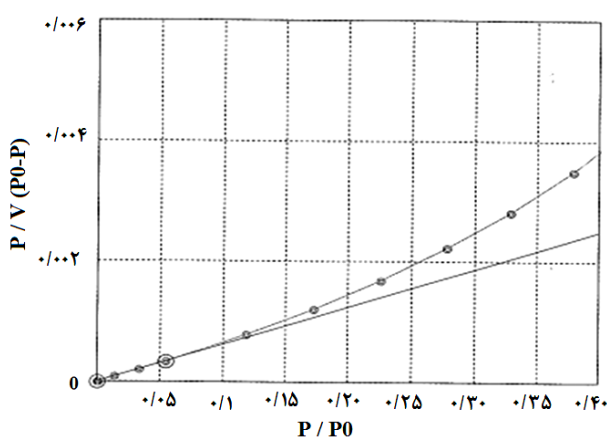
⁶ Ash Ertan

⁷ Dantus et al.

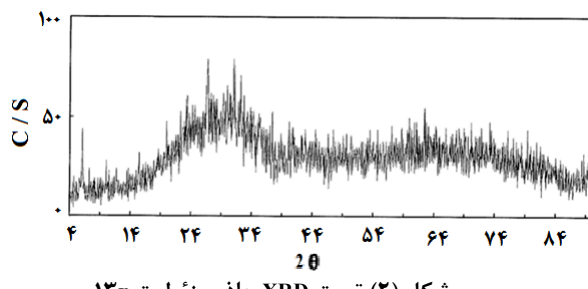
¹ Mayinger et al.

جدول (۱) آنالیز شیمیائی زئولیت ۱۳x

ترکیب	درصد وزنی
SiO ₂	۳۷/۹۰
Al ₂ O ₃	۲۵/۸۰
Na ₂ O	۱۳/۷۰
CaO	۰/۸۰
Fe ₂ O ₃	۱/۸۰
MgO	۰/۰۹
TiO ₂	۳/۰۲
K ₂ O	۰/۰۹
سایر	۱۳/۵۰



شکل (۱) تست BET جاذب زئولیت ۱۳x



شکل (۲) تست XRD جاذب زئولیت ۱۳x

با توجه به اینکه هیچ‌گونه تغییری در ساختار اصلی شیمیایی نمونه به وجود نیامده بنابراین جذب سطحی به صورت فیزیکی انجام شده است. نتایج شکل ۳ نشان می‌دهد که نمودار بعد از جذب مطابقت کامل با نمودار قبل از جذب سطحی دارد.

طیف‌سنجی نمونه قبل از جذب در شکل ۳ (a) ارائه شده است. مطابق شکل باند پهن و گسترده پیک 3469 cm^{-1} مربوط به پیوند کشش OH مولکول‌های آب، 1643 cm^{-1} مربوط به ارتعاشات پیوند خمثی H-O-H مولکول‌های آب و 987 cm^{-1} مربوط به ارتعاش‌های پیوند کششی نامتقارن مثل T-O که

برای استفاده از این نتایج در واحدهای صنعتی و نیمه‌صنعتی لازم است فرآیند جذب در یک بسته ثابت آزمایشگاهی مورد ارزیابی قرار گیرد. بنابراین در این تحقیق پتانسیل جذب دیاکسید کربن از گاز دودکش واحد تولیدی اراک با استفاده از جاذب ۱۳x مورد مطالعه تجربی قرار گرفت. برای انجام آزمایشات، یک پایلوت بسته ثابت طراحی و راهاندازی گردید. با انجام آزمایشات جذب اثر پارامترهای مختلف عملیاتی فرآیند بر روی جذب ۱۳x به طور تجربی مورد ارزیابی قرار گرفت. نتایج این تحقیق می‌تواند در افزایش مقیاس این فرآیند از واحد آزمایشگاهی به واحد صنعتی سودمند و مفید باشد.

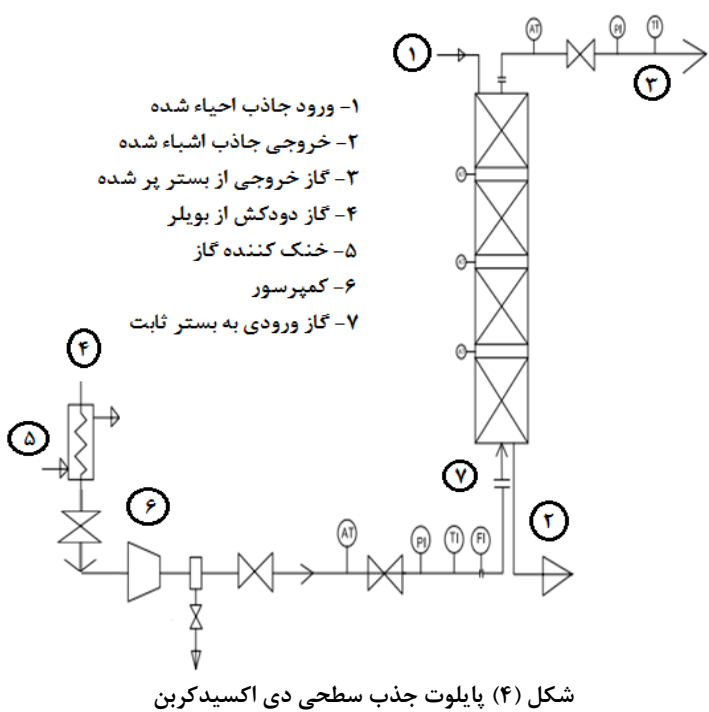
۲- مواد و روش تحقیق

۱-۱- مواد

در این تحقیق، جاذب ۱۳x دارای شرایط گزینش پذیری و ظرفیت جذب بالا، پایداری شیمیایی و حرارتی، شرایط احیاء مناسب و همچنین فراوانی و قیمت مناسب به عنوان جاذب مورد آزمایش انتخاب شده است. شناسایی جاذب بر اساس تست‌های BET, FTIR, XRD انجام گردید. در جدول ۱ نتایج آنالیز شیمیائی زئولیت ۱۳x و درصد اجزاء موجود در جاذب ارائه شده است. نتایج آنالیز ترکیب درصد زئولیت نشان می‌دهد که نسبت مولی SiO_2 به Al_2O_3 حدود ۲/۵ بوده (این نسبت عموماً بین ۲-۳ بوده) که برای زئولیت با توجه به گزارش‌های منتشرشده مناسب می‌باشد [۱۶-۱۷].

برای تعیین مساحت سطح جاذب ۱۳x از آزمون BET استفاده شده است. نتایج نشان داد که این جاذب به ازای هر گرم مساحتی برابر $6497\text{ m}^2\text{ g}^{-1}$ دارد. همچنین قطر متوسط حفره این جاذب $1/92\text{ нанومتر}$ می‌باشد. در شکل ۱ نتیجه آنالیز BET ارائه شده است.

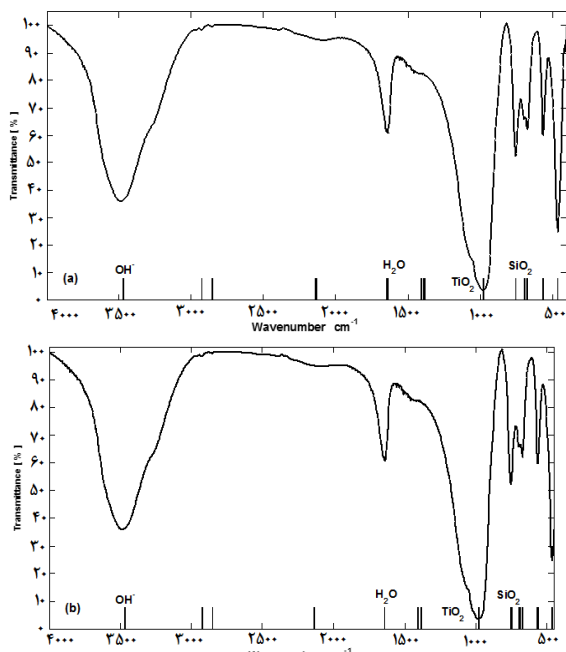
طیف‌سنجی پرتوایکس جهت شناسایی ترکیب شیمیایی و تعیین خواص بلوری مواد معدنی، سرامیک‌ها، فلزات، آلیاژها و مواد سنتزی به کار می‌رود. هر کریستالی طرح اشعه ایکس منحصر به فرد خود را دارا می‌باشد. الگوی حاصل از XRD ZEOLIT ۱۳x در شکل ۲ نشان داده شده است. نتایج پرتو ایکس نشان می‌دهد که جاذب شامل یک فاز اصلی آمورف با فرمول ساختاری $\text{Na}_2\text{Al}_2\text{Si}_2.408.8,6.7\text{H}_2\text{O}$ و یک فاز فرعی کوارتر سیلیس با فرمول ساختاری SiO_2 می‌باشد. این الگو در دو حالت قبل و بعد از جذب سطحی کاملاً یکسان است.



کردن مشکل بزرگی ناحیه MTZ نیاز به مقادیر بیشتر L/D می‌باشد. عرض منحنی شکست به طور مستقیم بر عملیات جذب یک بستر ثابت تأثیرگذار است. با افزایش عرض منحنی به طول بستر، کارایی بستر در هر چرخه جذب کاهش می‌یابد و برای خوارکی با شدت جریان معین نیاز به جاذب بیشتری است. برای حداقل کردن افت فشار در جذب‌کننده‌ها ممکن است نیاز به واحد جذب افقی یا شبیدار باشد. بنابراین یک بستر ثابت به ارتفاع ۱ متر دارای چهار بستر به ارتفاع هر یک ۲۵ سانتیمتر و قطر ۱۰ سانتیمتر آماده گردید. آزمایشات در مرحله اول با ۱۵ سانتیمتر و در مرحله دوم با ۱ متر ارتفاع جاذب انجام گردید. ستون جذب از جنس استیل بوده و برای جلوگیری از ورود ذرات به بستر از یک فیلتر هوا در مسیر ورودی جاذب استفاده شده است. برای آنالیز دی اکسیدکربن از یک آنالایزر TESTO-AX-350 L در ورودی و خروجی بستر نصب شده است. برای حذف رطوبت هوا از یک دستگاه شبنم‌گیر در ورود گاز بستر استفاده شده است.

۳-۲ روش و مراحل تحقیق

در بویلهای واحد آب سنگین ارak سوخت مصرفی گاز طبیعی بوده و دی هوا با سرعت ۱۵ تن بر ساعت می‌سوزد. در جدول ۲ آنالیز ترکیب درصد سوخت مصرفی ارائه شده است. هرگاه تمام اجزاء قابل احتراق در سوخت به طور کامل بسوزند، فرآیند احتراق کامل و در غیر این صورت فرآیند ناقص بوده و



شکل (۳) تست FTIR جاذب زئولیت $13\times$
(a) قبل از جذب و (b) بعد از جذب سطحی

در آن T می‌تواند Al یا Si باشد. همچنین پیک 752 cm^{-1} مربوط به پیوندهای خارجی کششی متقارن Si-O-Si و پیک 672 cm^{-1} مربوط به پیوند کششی چهاروجبه داخلی و پیک 563 cm^{-1} مربوط به پیوند حلقه‌های شش عضوی (D6R) و پیک 462 cm^{-1} مربوط به پیوند خمی T-O می‌باشد.

آزمون طیفسنجی جاذب زئولیت $13\times$ بعد از جذب دی اکسیدکربن در شکل (۳)(b) نشان داده شده است. مطابق نمودار باند OH و گستردۀ پیک 3469 cm^{-1} مربوط به پیوند کششی از مولکول‌های آب می‌باشد. پیک 1643 cm^{-1} مربوط به ارتعاشات پیوند خمی H-O-H ناشی از مولکول‌های آب بوده است. پیک 978 cm^{-1} مربوط به ارتعاشات پیوند کششی نامتقارن مثل T-O که در آن T می‌تواند Si یا Al باشد. همچنین پیک 752 cm^{-1} مربوط به ارتعاشات پیوندهای خارجی کششی متقارن Si-O-Si و پیک 672 cm^{-1} مربوط به پیوند کششی چهاروجبه داخلی و پیک 563 cm^{-1} مربوط به ارتعاشات پیوند حلقه‌های شش عضوی و پیک 462 cm^{-1} مربوط به پیوند خمی T-O می‌باشد.

۲-۲ تجهیزات

آزمایشات جذب دی اکسیدکربن با زئولیت $13\times$ در یک پایلوت بستر ثابت انجام شده است. شماتیک پایلوت به کاررفته در شکل ۴ نشان داده شده است. معمولاً نسبت طول به قطر ستون‌های جذب سطحی بزرگ‌تر از $1/5$ می‌باشد. برای حداقل

جدول (۳) آنالیز گاز دودکش در زمان‌های مختلف

درصد حجمی گاز دودکش						زمان
						ثانیه/دقیقه/ساعت
۴/۸۱	۹/۹۰	۵۰	۱/۷	۵۱	۲	۱۲/۰۳/۴۵
۴/۹۱	۹/۱۲	۴۹	۱/۷	۵۱	۲	۱۲/۰۴/۱۵
۴/۴۶	۹/۳۷	۵۱	۱/۷	۵۲	۲	۱۲/۰۴/۴۵
۴/۶۹	۹/۴۸	۵۰	۱/۷	۵۲	۱	۱۲/۰۵/۱۵
۴/۸۵	۹/۱۵	۵۰	۱/۴	۵۲	۲	۱۲/۰۵/۴۵
۴/۴۵	۹/۴۶	۵۱	۱/۷	۵۳	۱	۱۲/۰۶/۱۵
۴/۵۵	۹/۳۲	۵۱	۱/۴	۵۲	۱	۱۲/۰۶/۴۵
۴/۲۹	۹/۵۲	۵۰	۱/۴	۵۲	۱	۱۲/۰۷/۱۵
۴/۲۱	۹/۵۱	۴۹	۱/۷	۵۱	۱	۱۲/۰۷/۴۵
۴/۲۸	۹/۴۸	۴۹	۱/۷	۵۱	۱	۱۲/۰۸/۱۵

جدول (۲) ترکیب مخلوط گاز مصرفی سوخت گاز

ترکیبات سوخت گاز	درصد حجمی
CH ₄	۸۴/۹۳
C ₂ H ₆	۹/۲۶
C ₃ H ₈	۳/۵۰
n-Butane	۰/۶۶
i-Butane	۰/۳۳
C ₅ H ₁₀	۰/۱۸
N ₂	۰/۵۱
CO ₂	۰/۶۰
H ₂ S	۱/۵ ppm

از طرفی با توجه به اینکه آنالایزر مورد استفاده در فشار تقریباً اتمسفری استفاده شود و از آنجا که ستون جذب در فشارهای بالاتر از اتمسفری آزمایش می‌شود، باعث آسیب رساندن به تجهیز فوق می‌شود. بنابراین از یک مخزن به عنوان فشارشکن استفاده شده و فشار را به فشار اتمسفر کاهش داده می‌شود. میزان دی اکسید کربن ورودی و خروجی و سایر ترکیبات موجود در مخلوط گازی، توسط آنالایزر نصب شده اندازه‌گیری و ثبت می‌شود.

۳- مکانیسم جذب

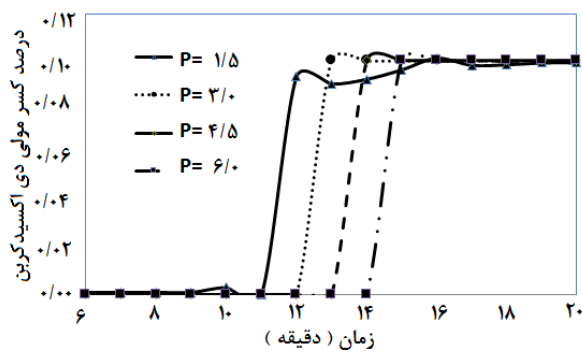
برای تعیین ظرفیت و مکانیسم جذب لازم است داده‌های تجربی ایزوترم جذب دی اکسید کربن توسط زئولیت ۱۳x با مدل‌های ایزوترمی بررسی شده و مکانیسم و پارامترهای مدل‌های ایزوترم جذب مورد تجزیه و تحلیل قرار گیرند. به طور کلی پدیده جذب گرمایه بوده و انرژی حاصل بیانگر قدرت جذب می‌باشد. این واکنش به صورت برگشت‌پذیر انجام می‌شود. جذب فیزیکی دارای گرمای جذب ناچیز و نیتروی فیزیکی بسیار ضعیف بوده و به صورت چندلایه‌ای صورت می‌گیرد. جذب شیمیابی یا جذب سطحی فعال شده نتیجه فعل و انفعالات شیمیابی جامد و ماده جذب شده بوده و به صورت تک لایه‌ای انجام می‌گیرد. نتایج جذب ایزوترم دی اکسید کربن با زئولیت ۱۳x توسط مدل لانگمویر مورد ارزیابی قرار گرفت [۱۸]. در این مدل q شدت جذب دی اکسید کربن بر حسب جرم جاذب، p فشار گاز بوده که پارامترهای مدل به صورت زیر محاسبه گردید:

$$q = \frac{0.165 \times p}{1 + 0.001 \times p} \quad (1)$$

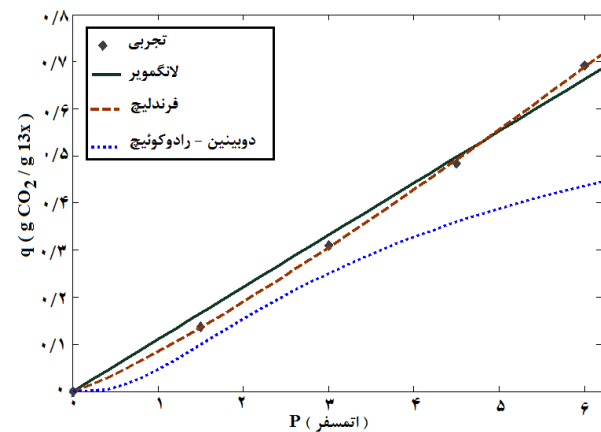
ضریب همبستگی این مدل 0.9974 است. مدل فرندلیج برآش شده برای نتایج تجربی به صورت رابطه ۲ است [۱۹]:

ترکیباتی مثل مونواکسید کربن و غیره تولید خواهد شد. در جدول ۳ آنالیز ترکیب درصد گاز خروجی دودکش در زمان‌های مختلف ارائه شده است. دمای خروجی گاز و محیط به ترتیب ۱۷۸ و ۲۰ درجه سلسیوس می‌باشد. قبل شروع و انجام آزمایش‌ها عملیات مقدماتی شامل کالیبراسیون کلیه تجهیزات ابزار دقیق از قبیل دماسنج، فشارسنج، فلومتر، تست عملکرد کمپرسور هوا، هیدروتست تجهیزات و اتصالات، پاکسازی مسیرهای خطوط جریان ورودی و خروجی و بستر، شارژ بستر از جاذب به میزان لازم به منظور تست شرایط فرآیند، استارت کمپرسور هوا و تنظیم فشار آن، تست آنالایزر گاز انجام شده است. برای جریان گاز بستر یک جریان به صورت جانبی از دودکش یکی از بویلهای مستقر به بستر هدایت شده است.

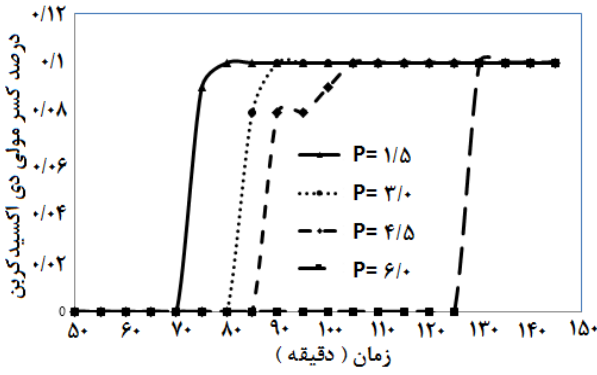
مخلوط گازی پس از عبور از یک فیلتر جهت جداسازی ذرات معلق و جامد حاصل از احتراق، با فشار (۰-۷) اتمسفر و با دبی ۲ مترمکعب بر ساعت به ستون جذب به ارتفاع ۱ متر و به قطر ۱۰ سانتی‌متر وارد می‌شود. ستون جذب از جاذب مولکولارسیو ۱۳x پر شده است. جهت ثابت نگهداشتن دمای ستون، از پشم‌شیشه استفاده شده است. دما و فشار توسط تجهیزات ابزار دقیقی تعیین شده بر روی مسیر کنترل می‌شوند. به منظور بررسی اثر دما روی میزان جذب دی اکسید کربن آزمایشات نشان داد که در دمای دودکش ۱۸۰ درجه سانتی‌گراد تقریباً هیچ‌گونه جذبی صورت نمی‌گیرد و میزان دی اکسید کربن در خروجی بستر پس از زمان بسیار کوتاه در ۲ الی ۳ ثانیه به مقدار ورودی می‌رسد و سریع اشباع می‌شود. بنابراین گازهای خروجی را بایستی سرد کرده و به دمای ۴۰ درجه سانتی‌گراد رسانده شود. این عمل باعث کندانس بخار آب موجود در مخلوط گازی می‌شود. بخار آب حاصل از احتراق و کندانس در اثر سرد کردن به آب تبدیل شده و حذف می‌شود.



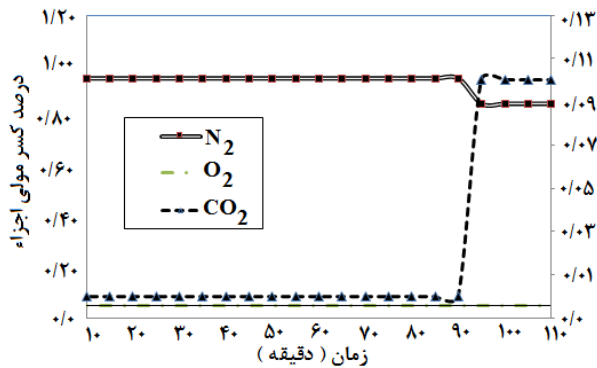
شکل (۶) مقایسه میزان جذب در فشارهای مختلف و ارتفاع ۱۵ متر



شکل (۵) نتایج مدل‌های ایزوترم جذب دی اکسید کربن



شکل (۷) مقایسه جذب در فشارهای مختلف و ارتفاع یک متر



شکل (۸) گزینش پذیری دی اکسید کربن / نیتروژن / اکسیژن

جذب دی اکسید کربن توسط زئولیت $13\times$ را به خوبی توصیف می‌نمایند چرا که ضریب همبستگی برای جذب دی اکسید کربن 0.995 به دست آمد. مقدار ضریب همبستگی جذب دی اکسید کربن نشان‌گر تناسب مدل فرندیج برای جذب دی اکسید کربن توسط زئولیت $13\times$ است. ظرفیت جذب سطحی نیز معادل 0.845 کیلوگرم جذب‌شونده به کیلوگرم جاذب است و

جذب به صورت چندلایه و فیزیکی صورت گرفت.

نتایج جذب در دماهای مختلف نشان داد که افزایش دمای گاز باعث کاهش مقدار جذب شده و بنابراین عملیات جذب در دمای 40°C درجه سانتی‌گراد انجام شده است.

$$q = 0.854 p^{1/0.085} \quad (2)$$

ضریب همبستگی مدل فرندیج 0.999 به دست آمد. با مقایسه نتایج می‌توان دریافت که جذب دی اکسید کربن با مدل فرندیج تطابق بیشتری دارد و در نتیجه جذب فیزیکی و چندلایه صورت گرفته است. نوع جذب فیزیکی یا شیمیایی با ایزوترم دویینین-رادکویچ نیز تعیین شد [۲۰]. انرژی جذب سطحی دی اکسید کربن به صورت بسته و در فشارهای $1/5$ تا 6 اتمسفر و دمای 40°C درجه سانتی‌گراد انجام شد. نتایج مدل‌های ایزوترم در شکل ۵ ارائه شده است. مشخص شد که شدت جذب زئولیت $13\times$ بالا است و با افزایش فشار فرآیند، ظرفیت جذب نیز افزایش می‌یابد.

۴- نتایج و بحث

آزمایشات جذب سطحی دی اکسید کربن در فشارهای مختلف از $1/5$ تا 6 اتمسفر ابتدا در ارتفاع 15 متر جاذب انجام گردید. نمودارهای 6 و 7 غلظت دی اکسید کربن در داخل بستر و همچنین غلظت خروجی جذب‌شونده را به صورت تابعی از زمان، درحالی که بستر در شرایط هم‌دما کار می‌کند، نشان می‌دهد. در شکل 8 آزمایشات در بستر به ارتفاع 1 متر از جاذب و در فشارهای مختلف از $1/5$ تا 6 اتمسفر انجام شده و تغییرات غلظت دی اکسید کربن ارائه شده است. نتایج حاصله نشان می‌دهد که گزینش پذیری زئولیت $13\times$ در جذب دی اکسید کربن نسبت به نیتروژن و اکسیژن خیلی بالا است.

برای محاسبه شدت جذب و بررسی ایزوترم جذب، فرایند به صورت بسته در فشارهای متفاوت اجرا شد و نتایج با مدل‌های فروندلیج و لانگمیر ارزیابی شد. مدل‌های استفاده شده

- [3] W. Y. Hong, S. P. Perera and A. D. Burrows (2015) "Manufacturing of metal-organic framework monoliths and their application in CO₂ adsorption", *Microporous and Mesoporous Materials*, 214, 149-155.
- [4] L. Riboldi and O. Bolland (2015) "Evaluating Pressure Swing Adsorption as a CO₂ separation technique in coal-fired power plants", *International Journal of Greenhouse Gas Control*, 39, 1-16.
- [5] R. S. Pillai and E. Titus (2015) "CO₂ and N₂ Adsorption in Nano-porous BEA Type Zeolite with Different Cations", *Materials Today: Proceedings*, 2, 446-455.
- [6] J. Silva, A. F. Cunha, K. Schumann and A. Rodrigues (2014) "Binary adsorption of CO₂/CH₄ in binderless beads of 13x zeolite", *Microporous and Mesoporous Materials*, 187, 100-107.
- [7] F. Mayinger and R. Eggert, (1993) Experimental and Theoretical Investigation Concerning adsorption CO₂ and N₂O on Molecular Sieve 5A, University of Munchen.
- [8] ح. دلاری امرئی، م. مهرنیا، ر. رحمتی، مروری بر جاذبهای مورد استفاده در جداسازی دی اکسید کربن از دودکش نیروگاه ها، پایان نامه کارشناسی ارشد، دانشکده فنی دانشگاه تهران، ۱۳۸۷
- [9] Z. Yong, V. Mata and A. E. Rodrigues (2002) "Adsorption of carbon dioxide at high temperature- a review", *Separation and Purification Technology*, 26, 195-205.
- [10] S. Cavenati, C. A. Grande and A. E. Rodrigues (2004) Adsorption Equilibrium of Methane, Carbon Dioxide, and Nitrogen on Zeolite 13X at High Pressures, University of Porto, 4200-465.
- [11] R. Siriwardane, M. Shen, E. Fisher, J. Poston and D. H. Smit, (2008) Adsorption of CO₂ on Molecular sieve and Activated carbon, U.S. Department of Energy, National Energy Technology Laboratory.
- [12] A. Ertan, CO₂, N₂ and Ar Adsorption on Zeolites, Izmir Institute of technology, 2004.
- [13] A. Sayaria and Y. Belmabk (2011) "Flue gas treatment vi CO₂ adsorption", *Chemical Engineering Journal*, 171, 760-774.
- [14] M. Songolzadeh, M. T. Ravanchi and M. Soleimani (2012) "Carbon Dioxide Capture and Storage: A General Review on Adsorbents", *World Academy of Science, Engineering and Technology*, 6, 10-24.
- [15] T.L.P. Dantas, F. M.T. Luna, I.J. Silva Jr. A.E.B. Torres, D.C.S.de Azevedo, A. E.Rodrigues and R. F. Moreira (2011) "Modeling of the Fixed-Bed Adsorption of Carbon Dioxide and a Carbon dioxide nitrogen Mixture on Zeolite 13x", *Brazilian Journal of Engineering*, 28, 533- 544.
- [16] J.A. Rabo (1976) "Zeolite Chemistry and Catalysis", *American chemical society*, 34.
- [17] D. W. Breck, (1974) *Zeolite Molecular Sieves Structure Chemistry and Use*, John Wiley and Sons, New York.
- [18] I. Langmuir (1918) "The adsorption of gases on plane surfaces of glass, mica and platinum", *Journal of American chemical society*, 40, 1361-1403.
- [19] H. M. F. Freundlich (1906) "Über die adsorption in lösungen, Zeitschrift für Physikalische Chemie (Leipzig) 57A ", 385-470.
- [20] A. Kapoor, J. A. Ritter and R. T. Yang (1989) "On the Dubinin-Radushkevich equation for adsorption in microporous solids in the Henry's law region", *Langmuir*, 5, 1118-1121.

با افزایش فشار، جذب دی اکسید کربن افزایش می یابد. با افزایش فشار، زمان نقطه شکست افزایش یافته و در فشار ۶ اتمسفر زمان نقطه شکست، بیشینه بوده که نشان دهنده اشباع دیرتر جاذب و جذب دی اکسید کربن بیشتر است. با افزایش فشار، نیروی پیش برنده فرآیند جذب، افزایش و بر نیروی مقاومت انتقال جرم غلبه کرده و در نتیجه ظرفیت جذب زیاد می شود. با توجه به غلطت توده ای دی اکسید کربن (۱۰٪) سطح جاذب در زمان بسیار کوتاه اشباع شده و با توزیع مناسب مخلوط گازی در ورودی بستر و جلوگیری از کانالیزه شدن، کل جامد اشباع شده کهندموجب باریک شدن ناحیه انتقال جرم و افزایش تند شب منحنی رخنه می شود. منحنی های شکست نشان می دهند که ظرفیت جذب دی اکسید کربن جاذب ۱۳x تحت تأثیر سایر گازهای مخلوط گازی نیست [۱۸]. نتایج شکل (۸) نشانگر گزینش پذیری جاذب برای جذب دی اکسید کربن بوده و اکسیژن و نیتروژن جذب چندانی نداشته است.

۵- جمع بندی

در این تحقیق جذب دی اکسید کربن با استفاده از جاذب زئولیت ۱۳x به صورت تحریبی مورد مطالعه قرار گرفت. برای جذب دی اکسید کربن از یک بستر پر شده با زئولیت ۱۳x استفاده گردید. نتایج نشان داد جاذب مورد استفاده دارای ظرفیت جذب بسیار بالا در مقایسه با جاذبهای موجود و قابل دسترس می باشد. همچنین نتایج نشان داد که جذب به صورت فیزیکی و چندلایه صورت گرفته است. تأثیر پارامترهای مختلف از جمله فشار، دما و ارتفاع بستر مورد مطالعه قرار گرفت. در آزمایشات مشخص گردید که با افزایش فشار و ارتفاع، میزان جذب دی اکسید کربن افزایش می یابد. تأثیر دما نیز بر روی جذب مورد بررسی قرار گرفت و مشخص شد که با افزایش دما میزان جذب کاهش یافته و در دمای حدود ۱۸۰ درجه سانتی گراد جذب صورت نگرفته است. داده های ایزووترم با مدل های لانگمیر، فرونديچ، دوبینین-راشدکووچ مورد تجزیه و تحلیل قرار گرفت و نتایج نشان داد که فرآیند جذب سطحی با ایزووترم فرنديچ تطابقت بیشتری دارد.

مراجع

- [1] A. Ghaemi, Sh. Shahhosseini, M. Torab-Mostaedi and M. Ghannadi (2011) "Kinetics and absorption rate of CO₂ into partially carbonated ammonia solutions", *Chemical Engineering Communications*, 198, 1169-1181.
- [2] H. Hayer and A. Ghaemi (2014) "Modeling of simultaneous heat and mass transfer in hollow fiber membranes", *International Journal of Chemical Modeling*, 6, 25-39.

Experimental study of carbon dioxide adsorption on 13x zeolite in a fixed bed reactor

Reza Gholami¹, Ahad Ghaemi^{*1}, Mohammad Taghi Sadeghi¹

1. Process design group, Chemical engineering department, Iran university of science and technology, Tehran, Iran

ABSTRACT

In this research, carbon dioxide absorption by 13x zeolite was studied in a fixed bed reactor. The adsorption experiments were carried out in a fixed bed with 1 m height and 10 cm diameter. The adsorption experiments were carried out to investigate adsorption operating parameters including temperature, pressure, gas flow rate and adsorbent amount. The analyses result showed that adsorbent diameter average is 1.92 nm and interface area is 697 m²/gr. The experimental result showed that adsorption rate of carbon dioxide was increased by increasing pressure and bed height and decreasing temperature. The evaluation of adsorption isotherm data showed that the CO₂ adsorption is physical and the adsorbent has high capacity. Also the isotherm data was evaluated with different isotherm models and the results showed that Frendlich model with correlation coefficient 0.999 has good agreement with experimental data.

ARTICLE INFO

Article history:

Received in: July 29, 2015

Revised from: Feb. 15, 2016

Accepted: March 01, 2016

Key words:

Adsorption

Fixed bed

Isotherm

Carbon Dioxide

Zeolite 13x

All right reserved.

* Corresponding author
aghaemi@iust.ac.ir